

Aufgabe 1 (16 Punkte)

Eine auf dem Koordinatenursprung zentrierte, nichtleitende Kugel mit dem Radius  $r_a$  und der Ladungsdichte  $\rho_a = \frac{\rho_0 \cdot k}{r^2}$  wird von einer Kugelschale aus einem unendlich gut leitenden Metall mit dem Radius  $r_b$  und der Ladung  $Q_b$  umschlossen. Es gelte  $\varepsilon = \varepsilon_0$  im ganzen Raum. Die kugelsymmetrische Anordnung ist in Abbildung 1 dargestellt.

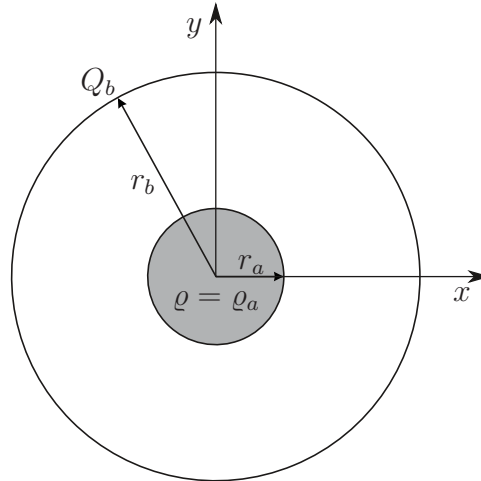


Abbildung 1: Kugelsymmetrische Versuchsanordnung

- Die Anordnung werde zunächst aus großer Entfernung betrachtet, d.h.  $r \gg r_b$ . Skizzieren Sie das Vektorfeld  $\vec{E}$  in der  $xy$ -Ebene.
- Berechnen Sie das elektrische Feld  $\vec{E}$  im gesamten Raum, d.h. für  $0 \leq r < \infty$ .
- Berechnen Sie das elektrische Potential  $\Phi$  im gesamten Raum unter der Annahme  $\Phi(\infty) = 0$ .
- Berechnen Sie die Flächenladungsdichte  $\sigma_b$  auf der Leiteroberfläche bei  $r = r_b$ .

Gegeben ist nun folgende Anordnung, siehe Abbildung 2:

Eine Metallkugel mit Radius  $r_c$  und Flächenladungsdichte  $\sigma_c$  ist über einen dünnen leitfähigen Draht mit einer zweiten Metallkugel mit Radius  $r_d$  verbunden. Effekte durch den Draht können vernachlässigt werden.

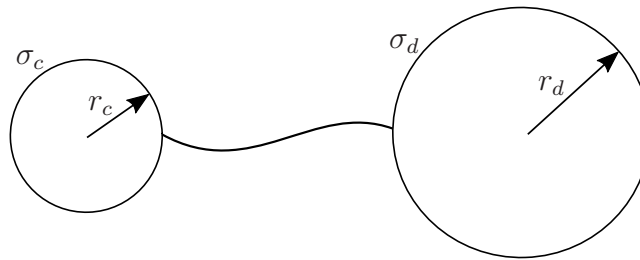


Abbildung 2: Versuchsanordnung aus zwei Metallkugeln

- e) Beide Kugeln seien sehr weit voneinander entfernt, sodass die Flächenladungsdichten auf den Metallkugeln konstant sind. Berechnen Sie die Flächenladungsdichte  $\sigma_d$ . Begründen Sie Ihren Ansatz physikalisch.  
Hinweis: Für eine Punktladung gelten  $\vec{E}(r) = \frac{Q}{4\pi\epsilon r^2} \cdot \vec{e}_r$  und  $\Phi(r) = \frac{Q}{4\pi\epsilon r}$ .
- f) Der Draht wird nun entfernt, ferner sei die Gesamtladung der linken Metallkugel größer null ( $Q_c > 0$ ) und die Gesamtladung der rechten Metallkugel neutral ( $Q_d = 0$ ). Skizzieren Sie die elektrischen Feldlinien im gesamten Raum, wenn die beiden Kugeln nahe beisammen liegen, sich aber nicht berühren.

Lösung 1 (16 Punkte)

a) Elektrisches Feld der Anordnung:

- radialsymmetrisch, nach außen gerichtet
- abnehmender Betrag

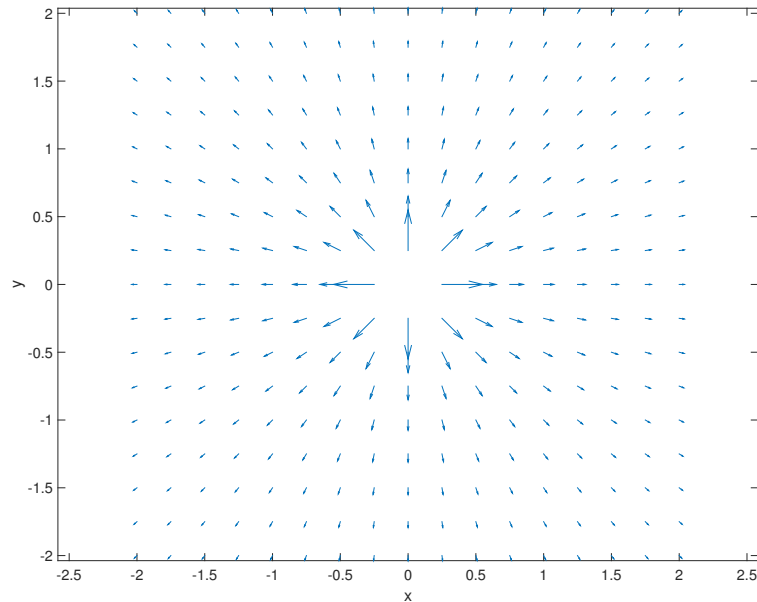


Abbildung 3: Kugelsymmetrische Versuchsanordnung

b)  $\vec{E}$ -Feld

Kugelsymmetrie:  $\vec{E} = E_r(r) \cdot \vec{e}_r \Rightarrow d\vec{s} = \vec{e}_r \cdot dr$

Materialgleichung:  $\vec{D} = \varepsilon \cdot \vec{E} = \varepsilon_r \varepsilon_0 \cdot \vec{E} \Rightarrow D_R = \varepsilon_r \varepsilon_0 \cdot E_R$

Das  $\vec{E}$ -Feld wird mit  $\oint \vec{D} d\vec{f} = \int \rho dv$  (Satz von Gauss) berechnet:

$$\int_0^{2\pi} \int_0^{\pi} \varepsilon E_r \cdot r^2 \sin(\vartheta) d\vartheta d\varphi = \int_0^r \int_0^{2\pi} \int_0^{\pi} \rho(r') \cdot r'^2 \sin(\vartheta) d\vartheta d\varphi dr'$$

$0 \leq r < r_a$ :

$$\begin{aligned} \int_0^{2\pi} \int_0^{\pi} \varepsilon_0 E_r \cdot r^2 \sin(\vartheta) d\vartheta d\varphi &= \int_0^r \int_0^{2\pi} \int_0^{\pi} \rho_0 k \sin(\vartheta) d\vartheta d\varphi dr' \\ 4\pi r^2 \varepsilon_0 E_r &= 4\pi k \rho_0 r \\ \Rightarrow E_r &= \underbrace{\frac{k \rho_0}{\varepsilon_0}}_{k_1} \cdot \frac{1}{r} \end{aligned}$$

$$r_a \leq r < r_b:$$

$$\int_0^{2\pi} \int_0^\pi \varepsilon_0 E_r r^2 \sin(\vartheta) d\vartheta d\varphi = 4\pi \cdot \left( \int_0^{r_a} \rho_0 k dr' + \int_{r_a}^r 0 dr' \right)$$

$$4\pi r^2 \varepsilon_0 E_r = \underbrace{4\pi k \rho_0 r_a}_{Q_i}$$

$$\Rightarrow E_r = \underbrace{\frac{k r_a \rho_0}{\varepsilon_0}}_{k_2} \cdot \frac{1}{r^2}$$

$$r_b \leq r < \infty:$$

$$\int_0^{2\pi} \int_0^\pi \varepsilon_0 E_r r^2 \sin(\vartheta) d\vartheta d\varphi = Q_i + Q_b$$

$$4\pi r^2 \varepsilon_0 E_r = Q_i + Q_b$$

$$\Rightarrow E_r = \underbrace{\frac{4\pi k \rho_0 r_a + Q_b}{4\pi \varepsilon_0}}_{k_3} \cdot \frac{1}{r^2}$$

c) Elektrisches Potential:

Skalarpotential (Elektrostatik):  $\Phi_{el}(\vec{r}_2) - \Phi_{el}(\vec{r}_1) = - \int_{r_1}^{r_2} \vec{E} d\vec{s}$

Kugelsymmetrie:  $\vec{E} = E_r(r) \cdot \vec{e}_r \Rightarrow d\vec{s} = \vec{e}_r \cdot dr$

$$r_b \leq r < \infty:$$

$$\Phi(r) - \underbrace{\Phi(\infty)}_{=0} = -k_3 \int_{\infty}^r \frac{1}{r'^2} dr'$$

$$\Phi(r) = k_3 \left[ \frac{1}{r'} \right]_{\infty}^r$$

$$\Rightarrow \Phi(r) = k_3 \cdot \frac{1}{r}$$

$$r_a \leq r < r_b:$$

$$\Phi(r) - \Phi(r_b) = -k_2 \int_{r_b}^r \frac{1}{r'^2} dr' + \Phi(r_b)$$

$$= k_2 \left[ \frac{1}{r'} \right]_{r_b}^r + \Phi(r_b)$$

$$\Rightarrow \Phi(r) = k_2 \left( \frac{1}{r} - \frac{1}{r_b} \right) + k_3 \cdot \frac{1}{r_b}$$

$$0 \leq r < r_a:$$

$$\begin{aligned}\Phi(r) - \Phi(r_a) &= -k_1 \int_{r_a}^r \frac{1}{r'} dr' + \Phi(r_a) \\ &= -k_1 [\ln r']_{r_a}^r + \Phi(r_a) \\ \Rightarrow \Phi(r) &= k_1 (\ln r_a - \ln r) + k_2 \left( \frac{1}{r_a} - \frac{1}{r_b} \right) + k_3 \cdot \frac{1}{r_b}\end{aligned}$$

d) Flächenladungsdichte:

$$\begin{aligned}Q_b &= \sigma_b \cdot A_b \\ \Rightarrow \sigma_b &= Q_b / 4\pi r_b^2\end{aligned}$$

e) Es findet so lange Ladungsausgleich statt, bis beide Kugeln das gleiche Potential haben. Die Äquipotentialbedingung  $\Phi_1 = \Phi_2$  führt unter Verwendung des Hinweises auf

$$\begin{aligned}\frac{Q_c}{4\pi\epsilon_0} \cdot \frac{1}{r_c} &= \frac{Q_d}{4\pi\epsilon_0} \cdot \frac{1}{r_d} \\ \frac{4\pi r_c^2 \sigma_c}{r_c} &= \frac{4\pi r_d^2 \sigma_d}{r_d} \\ r_c \sigma_c &= r_d \sigma_d\end{aligned}$$

Damit berechnet sich die gesuchte Flächenladungsdichte zu

$$\Rightarrow \sigma_d = \frac{r_c}{r_d} \cdot \sigma_c$$

f) Elektrische Feldlinien der Anordnung:

- von  $Q_c$  nach  $Q_d$  von der linken Seite
- aufgrund von Influenzladungen von  $Q_d$  nach rechts
- $\varphi = 90^\circ$  an der Kugeloberfläche

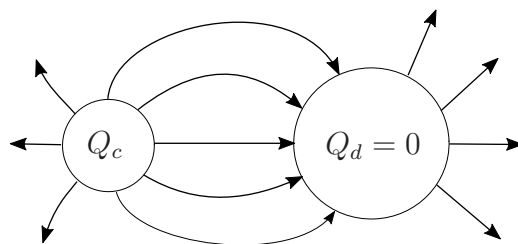


Abbildung 4: Feldlinien Dipol

## Aufgabe 2 (16 Punkte)

Gegeben sei ein Koaxialkabel (siehe Abbildung 5) der Länge  $L \gg R_i, R_a$ . Die metallischen Innen- und Außenleiter liegen auf den bekannten Potentialen  $\Phi(R_i) = \Phi_i = 0$  bzw.  $\Phi(R_a) = \Phi_a > 0$ . Das Dielektrikum besitzt die Materialkonstanten  $\varepsilon = \text{const.}$  und  $\kappa(R) = \frac{1}{a+bR}$  mit  $a, b = \text{const.}$  Randeﬀekte seien vernachlässigbar.

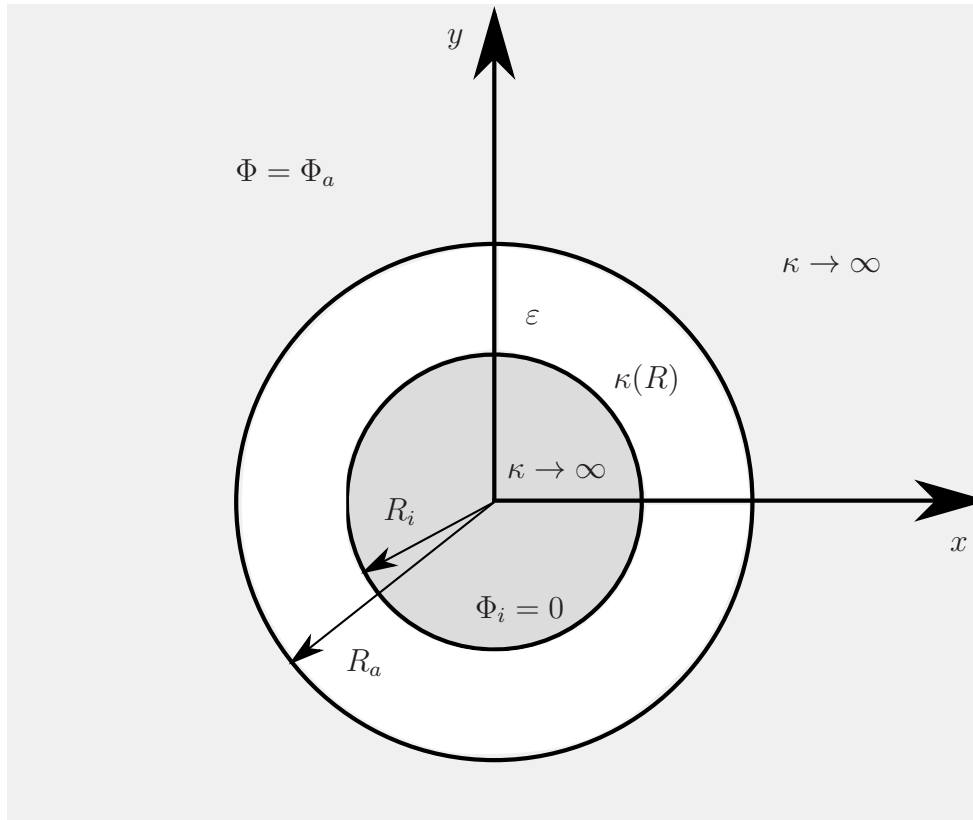


Abbildung 5: In  $z$ -Richtung ausgedehntes Koaxialkabel mit inneren Materialkonstanten  $\varepsilon$  und  $\kappa(R)$ .

- a) Berechnen Sie für den stationären Fall die Stromdichte  $\vec{J}$ , die elektrische Feldstärke  $\vec{E}$ , sowie die elektrische Verschiebungsdichte  $\vec{D}$  innerhalb des Dielektrikums ( $R_i < R < R_a$ ).

Hinweis: Nutzen Sie hierfür die Kontinuitätsgleichung der Ladung:

$$\text{div} \vec{J} + \frac{\partial}{\partial t} \rho = 0. \quad (1)$$

Die oben genannten Vektorfelder lassen sich bis auf einen freien Parameter  $C$  bestimmen.

- b) Berechnen Sie nun das Potential  $\Phi(R)$  und bestimmen Sie anhand der Randbedingungen den freien Parameter  $C$ .  
Skizzieren Sie weiterhin das Potential für alle Bereiche.
- c) Berechnen Sie die Raumladungsdichte  $\rho$ . Unter welcher Bedingung existiert eine Raumladungsdichte in  $R_i < R < R_a$ ?
- d) Berechnen Sie nun die Gesamtladung  $Q$  der Anordnung und den Gesamtstrom  $I$ , der durch das Dielektrikum fließt.

Lösung 2 (16 Punkte)

a) Stationärer Fall  $\Rightarrow \operatorname{div} \vec{J} = 0$ .

Aus Symmetriegründen gilt  $\vec{J} = J_R \vec{e}_R$ ,  $\vec{D} = D_R \vec{e}_R$  und  $\vec{E} = E_R \vec{e}_R$ .

Es gilt also:

$$\begin{aligned} \operatorname{div} \vec{J} &= \frac{1}{R} \frac{\partial}{\partial R} R \cdot J_R(R) = 0 \\ &\Rightarrow R \cdot J_R(R) = C = \text{const.}, \end{aligned}$$

bzw.:

$$\begin{aligned} \int \frac{\partial}{\partial R} R \cdot J_R(R) &= \int 0 dR \\ \int J_R(R) + R \cdot \frac{\partial}{\partial R} J_R(R) dR &= C \\ \int J_R(R) dR + R \cdot J_R(R) - \int J_R(R) dR &= C \\ &\Rightarrow R \cdot J_R(R) = C = \text{const.}, \end{aligned}$$

Daraus folgt:

$$\vec{J} = \frac{C}{R} \vec{e}_R, \quad \vec{E} = \frac{C}{\kappa(R) \cdot R} \vec{e}_R \quad \text{und} \quad \vec{D} = \frac{\varepsilon C}{\kappa(R)} \vec{e}_R$$

b) Das Potential ergibt sich aus folgendem Zusammenhang:

$$\Phi(R) - \Phi(R_i) = - \int_{R_i}^R \frac{C}{\kappa(R') R'} dR'$$

Daraus folgt:

$$\begin{aligned} \Phi(R) &= - \int_{R_i}^R \frac{C(a + bR')}{R'} dR' \\ &= -C [a \ln(R') + bR']_{R_i}^R \\ &= -C \left( a \ln\left(\frac{R}{R_i}\right) + b(R - R_i) \right). \end{aligned}$$

Somit lässt sich der freie Parameter mit:

$$C = - \frac{\Phi_a}{a \ln\left(\frac{R_a}{R_i}\right) + b(R_a - R_i)}$$

bestimmen.

Der Potentialverlauf für alle Bereiche ist in Abb. 6 qualitativ dargestellt.

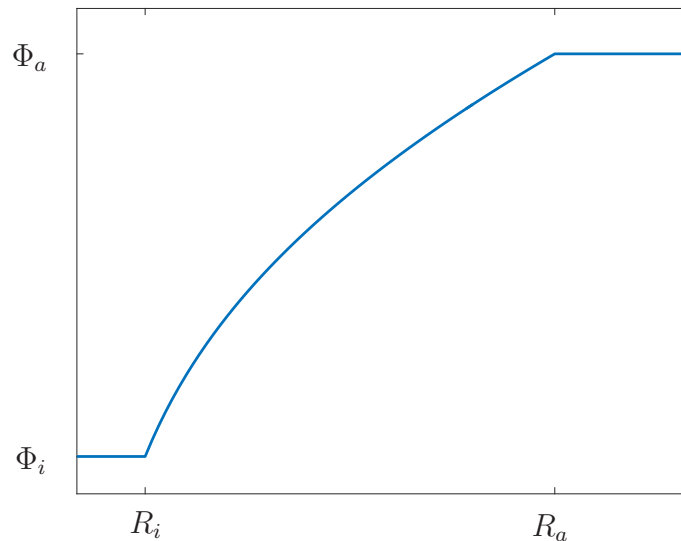


Abbildung 6: Radialer Potentialverlauf auf dem Koaxialkabel.

c) Die Raumladungsdichte:

$$\begin{aligned}\rho(R) &= \operatorname{div} \vec{D} = \varepsilon \operatorname{div} \vec{E} \\ &= \varepsilon \frac{\partial}{\partial R} R \frac{C}{\kappa(R) \cdot R} \\ &= \varepsilon \frac{b \cdot C}{R}\end{aligned}$$

Damit existiert eine Raumladungsdichte im Inneren, falls  $b \neq 0 \wedge C \neq 0$  gilt.

d) Für die Gesamtladung der Anordnung gilt:  $Q_{ges} = Q_{R_i} + Q_{innen} + Q_{R_a}$ .

$$\begin{aligned}Q_{R_i} &= \sigma_{R_i} \cdot 2\pi R_i L \\ &= \frac{\varepsilon C}{\kappa(R_i)} \cdot (2\pi R_i L) \\ &= \varepsilon C \cdot 2\pi R_i L (a + b R_i)\end{aligned}$$

$$\begin{aligned}Q_{innen} &= \oint \rho(R') dv \\ &= 2\pi L \int_{R_i}^{R_a} R' \rho(R') dR' \\ &= 2\pi L \varepsilon b C (R_a - R_i).\end{aligned}$$

$$Q_{R_a} = -\varepsilon C \cdot 2\pi R_a L (a + b R_a)$$

Der Strom durch das Dielektrikum:

$$\begin{aligned}I &= \int \vec{J} d\vec{f} \\ &= 2\pi LC.\end{aligned}$$

## Aufgabe 3 (16 Punkte)

Gegeben ist eine in  $x$ -Richtung ausgerichtete Zylinderspule mit der Länge  $l$  und mit dem Radius  $R_1$ , die  $N$  vom Strom  $i_1(t)$  durchflossene Windungen besitzt. Die Windungen sind eng gewickelt und  $l \gg R_1 \gg 2a$ .

Innerhalb der Spule befindet sich eine Drahtschleife der Breite  $2a$  und Höhe  $2a$ . An der Spitze bildet die Drahtschleife ein rechtwinkliges Dreieck. Die Drahtschleife ist um die  $z$ -Achse drehbar aufgehängt und schließt mit der  $x$ -Achse den Winkel  $\varphi(t)$  ein. Es gilt  $\varphi(t=0) = 0$ .

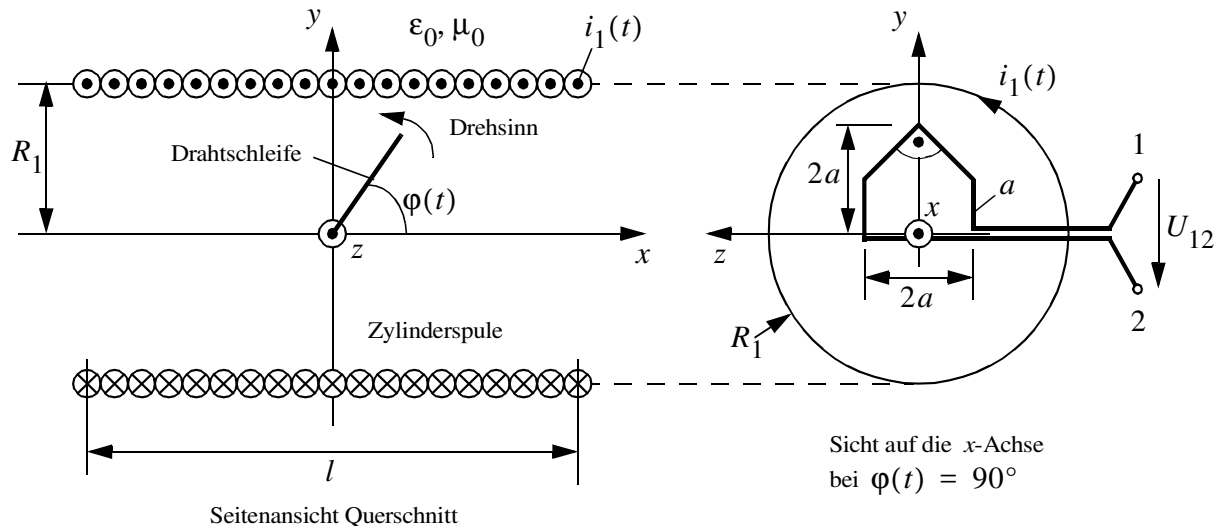


Abbildung 7: Lange, eng gewickelte Zylinderspule

- Zeichnen Sie qualitativ den Verlauf der magnetischen Feldstärke  $\vec{H}$  in der Ebene  $z = 0$  im Inneren der Spule, wenn  $i_1(t) = \text{const} > 0$  ist.
  - Welche Komponenten  $H_x, H_y, H_z$  besitzt das  $\vec{H}$ -Feld auf der  $x$ -Achse im Innern der Spule?
- Bestimmen Sie die magnetische Feldstärke  $\vec{H}(t)$  im Inneren der Spule. (Vollständige Berechnung mit Hilfe des Durchflutungsgesetzes)
- Bestimmen Sie den magnetischen Fluß  $\Phi(t)$  durch die Drahtschleife.
 

Anmerkung: Sollten Sie Aufgabenteil b) nicht gelöst haben, dann nehmen Sie an, daß  $H(t) = k \cdot i_1(t)$  ist.
- Geben Sie die Gegeninduktivität  $L_{12}(t)$  zwischen der Drahtschleife und der Spule an.
- Berechnen Sie den Betrag der Spannung  $U_{12}(t)$ , die in der Drahtschleife für  $\varphi(t) = \omega t$  und  $i_1(t) = \hat{I}_0 \cdot \sin(\omega t)$  induziert wird.
- Mit welcher Frequenz  $f_{U_{12}}$  oszilliert die induzierte Spannung  $U_{12}$ ?





mit

$$\vec{B}(t) = \mu_0 \cdot \vec{H}(t) = \underbrace{\mu_0 \cdot \frac{N \cdot i_1(t)}{l}}_{|\vec{B}(t)|} \cdot \vec{e}_x \quad \text{und} \quad |d\vec{f}| = df$$

erhält man:

$$\Phi(t) = \iint_{F_{DS}} \mu_0 \cdot \frac{N \cdot i_1(t)}{l} \cdot df \cdot \cos \angle(\vec{e}_x, d\vec{f}) = \mu_0 \cdot \frac{N \cdot i_1(t)}{l} \underbrace{\iint_{F_{DS}} df \cdot \cos \angle(\vec{e}_x, d\vec{f})}_{\text{projizierte Fläche } F_{DS}(t) \text{ der Drahtschleife, die senkrecht von } \vec{B} \text{ durchsetzt wird.}}$$

projizierte Fläche  $F_{DS}(t)$  der Drahtschleife, die senkrecht von  $\vec{B}$  durchsetzt wird.

Die Gesamtfläche der dreieckförmigen Drahtschleife beträgt:  $F_{DS} = 3a^2$

Die projizierte Fläche in Abhängigkeit von  $\varphi(t)$  ergibt sich zu:

$$F_{DS}(t) = 3a^2 \cdot \sin(\varphi(t))$$

da gelten muss  $F_{DS}(0) = 0$  und  $F_{DS}(\varphi(t) = 90^\circ) = 3a^2$

Lösung:

$$\Phi(t) = \mu_0 \cdot \frac{N \cdot i_1(t)}{l} \cdot 3a^2 \cdot \sin(\varphi(t))$$

Ersatzlösung:

$$\Phi(t) = \mu_0 \cdot k \cdot i_1(t) \cdot 3a^2 \cdot \sin(\varphi(t))$$

d) Geben Sie die Gegeninduktivität  $L_{12}(t)$  zwischen der Drahtschleife und der Spule an.

$$L_{12} = \frac{\text{magnetischer Fluß durch die Drahtschleife}}{\text{flußverursachender Strom}} = \frac{\Phi(t)}{i_1(t)}$$

Lösung:

$$L_{12} = \mu_0 \cdot \frac{N \cdot i_1(t)}{l} \cdot 3a^2 \cdot \sin(\varphi(t)) \cdot \frac{1}{i_1(t)} = \mu_0 \cdot \frac{N}{l} \cdot 3a^2 \cdot \sin(\varphi(t))$$

Ersatzlösung:

$$L_{12} = \mu_0 \cdot k \cdot i_1(t) \cdot 3a^2 \cdot \sin(\varphi(t)) \cdot \frac{1}{i_1(t)} = \mu_0 \cdot k \cdot 3a^2 \cdot \sin(\varphi(t))$$

e) Berechnen Sie den Betrag der Spannung  $U_{12}(t)$ , die in der Drahtschleife für  $\varphi(t) = \omega t$  und  $i_1(t) = \hat{I}_0 \cdot \sin(\omega t)$  induziert wird.

Nach dem Induktionsgesetz gilt:

$$U_{12}(t) = -\frac{d\Phi(t)}{dt} = -\frac{d}{dt} \left( \mu_0 \frac{N \cdot i_1(t)}{l} \cdot 3a^2 \cdot \sin(\varphi(t)) \right) = -\frac{d}{dt} \left( \mu_0 \frac{N \cdot \hat{I}_0 \cdot \sin(\omega t)}{l} \cdot 3a^2 \cdot \sin(\omega t) \right)$$

$$U_{12}(t) = -\frac{\mu_0 N \hat{I}_0 3a^2}{l} \cdot \frac{d}{dt} \sin^2(\omega t)$$

Ableiten mittels Kettenregel und Betragsbildung liefert die

Lösung:

$$|U_{12}(t)| = \left| -\frac{\mu_0 N \hat{I}_0 3a^2}{l} \cdot 2\omega \cdot \sin(\omega t) \cdot \cos(\omega t) \right| = \left| -\frac{\mu_0 N \hat{I}_0 3a^2}{l} \cdot \omega \cdot \sin(2\omega t) \right|$$

Ersatzlösung:

$$|U_{12}(t)| = \left| -\mu_0 k \hat{I}_0 3a^2 \cdot 2\omega \cdot \sin(\omega t) \cdot \cos(\omega t) \right| = \left| -\mu_0 k \hat{I}_0 3a^2 \cdot \omega \cdot \sin(2\omega t) \right|$$

f) Mit welcher Frequenz  $f_{U_{12}}$  oszilliert die induzierte Spannung  $U_{12}$  ?

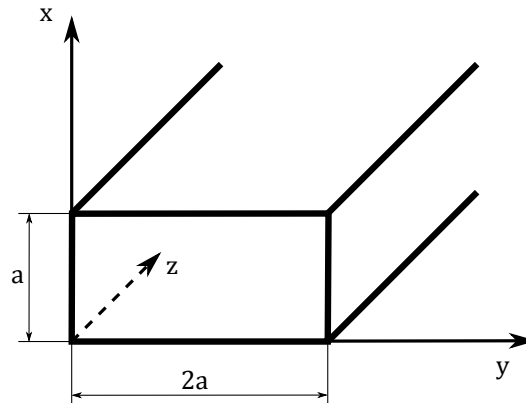
Die Spannung oszilliert mit der doppelten Frequenz:

$$2 \cdot \omega \cdot \sin(\omega t) \cdot \cos(\omega t) = \omega \cdot \sin(\underbrace{2\omega}_{\text{}} \cdot t)$$

$$\text{mit } \omega = 2\pi f \Rightarrow f_{U_{12}} = 2f$$

## Aufgabe 4 (16 Punkte)

Neben TE-Wellen ( $H_x, H_y, H_z, E_x, E_y$ ) breiten sich in einem rechteckigen Wellenleiter in  $z$ -Richtung auch TM-Wellen ( $H_x, H_y, E_x, E_y, E_z$ ) aus. Der Rechteckhohlleiter besteht an den Wänden aus unendlich gut leitendem Material. Im Innern befindet sich Vakuum. Er ist in  $y$ -Richtung  $2a$  breit und hat in  $x$ -Richtung die Ausdehnung  $a$ .

**Hinweis:**

$$\text{TM: } E_z = E_z^0(x, y) e^{j(\omega t - k_z z)}$$

$$\text{TE: } H_z = H_z^0(x, y) e^{j(\omega t - k_z z)}$$

$$E_x = \frac{-j\omega\mu}{\omega^2\mu\varepsilon - k_z^2} \frac{\partial H_z}{\partial y}$$

$$E_y = \frac{j\omega\mu}{\omega^2\mu\varepsilon - k_z^2} \frac{\partial H_z}{\partial x}$$

- a) Geben Sie die Randbedingungen für das  $\vec{E}$ -Feld auf den Leiterflächen für TM- und TE-Wellen an. Beschreiben Sie dabei die relevanten Positionen vollständig in allen drei Koordinaten.

Welche Begründung liegt für diese Randbedingungen zugrunde? Begründen Sie anschaulich.

- b) Zur Beschreibung der TM-Welle können Sie eine der beiden folgenden Funktionen wählen:

$$E_z^0 = A \sin(k_x x) \cdot \sin(k_y y), \quad E_z^0 = B \cos(k_x x) \cdot \cos(k_y y).$$

und zur Beschreibung der TE-Welle gibt es die beiden folgenden Ansätze:

$$H_z^0 = C \cos(k_x x) \cdot \sin(k_y y), \quad H_z^0 = D \cos(k_x x) \cdot \cos(k_y y),$$

- Wählen Sie für die TM-Welle und die TE-Welle je den passenden der beiden Ansätze aus und begründen Sie Ihre Auswahl ausführlich mathematisch.
  - Welche Bedingungen müssen jeweils für  $k_x$  bzw.  $k_y$  erfüllt sein?
- c) Leiten Sie die Formel zur Berechnung der Frequenz  $\omega$  für ein gegebenes  $k_z$  ausführlich her. Verwenden Sie hierfür eine der Lösungen aus Aufgabenteil b) und setzen Sie diese in die allgemein gültige Wellengleichung ein.
- d) Welche Moden sind für die TE-Welle und die TM-Welle gültig, wenn  $k_z$  möglichst groß sein soll? Begründen Sie Ihre Aussage in Worten!

**Hinweis:** Es ist keine Rechnung erforderlich!

Lösung 4 (16 Punkte)

a) Randbedingungen für die TM-Welle:

$$E_z(0, y, z) = E_z(a, y, z) = E_z(x, 0, z) = E_z(x, 2a, z) = 0.$$

Randbedingungen für die TE-Welle:

$$E_y(0, y, z) = E_y(a, y, z) = E_x(x, 0, z) = E_x(x, 2a, z) = 0.$$

Den Randbedingungen liegt der Zusammenhang zugrunde, dass an den gut leitenden Rändern des Wellenleiters keine tangentialen Komponenten der elektrischen Feldstärke auftreten können. Dies wird an dem Zusammenhang  $\vec{J} = \kappa \vec{E}$  deutlich: Durch die Annahme der beliebig guten Leitfähigkeit  $\kappa$  in der metallischen Berandung des Hohlleiters und aufgrund der Stetigkeitsbedingung muss  $\vec{E}_{\text{tangential}} = 0$  sein.

b) TM-Welle:

$$E_z^0 = A \sin(k_x x) \cdot \sin(k_y y)$$

erfüllt die Randbedingungen:

$$\begin{aligned} E_z^0(0, y) &= A \sin(k_x \cdot 0) \cdot \sin(k_y y) = 0 \\ &\Rightarrow 0 \cdot \sin(k_y y) = 0 \end{aligned}$$

$$\begin{aligned} E_z^0(a, y) &= A \sin(k_x a) \cdot \sin(k_y y) \stackrel{!}{=} 0 \\ &\Rightarrow \sin(k_x a) \stackrel{!}{=} 0 \\ &\Rightarrow k_x = \frac{m\pi}{a} \quad \text{für } m = 1, 2, 3, \dots \end{aligned}$$

und

$$\begin{aligned} E_z^0(x, 0) &= A \sin(k_x x) \cdot \sin(k_y \cdot 0) = 0 \\ &\Rightarrow A \sin(k_x x) \cdot 0 = 0 \\ E_z^0(x, 2a) &= A \sin(k_x x) \cdot \sin(k_y \cdot 2a) \stackrel{!}{=} 0 \\ &\Rightarrow \sin(k_y \cdot 2a) \stackrel{!}{=} 0 \\ &\Rightarrow k_y = \frac{n\pi}{2a} \quad \text{für } n = 1, 2, 3, \dots \end{aligned}$$

TE-Welle:

$$H_z^0 = D \cos(k_x x) \cdot \cos(k_y y)$$

erfüllt die Randbedingungen:

$$\begin{aligned} E_y \sim \frac{\partial H_z^0(0, y)}{\partial x} &= -D k_x \sin(k_x \cdot 0) \cdot \cos(k_y y) = 0 \\ &= 0 \cdot \cos(k_y y) = 0 \end{aligned}$$

$$\begin{aligned} E_y \sim \frac{\partial H_z^0(a, y)}{\partial x} &= -D k_x \sin(k_x \cdot a) \cdot \cos(k_y y) = 0 \\ &\Rightarrow \sin(k_x \cdot a) \stackrel{!}{=} 0 \\ &\Rightarrow k_x = \frac{m\pi}{a} \quad \text{für } m = 0, 1, 2, \dots \end{aligned}$$

und

$$\begin{aligned}
 E_x &\sim \frac{\partial H_z^0(x, 0)}{\partial y} = -Dk_y \cos(k_x x) \cdot \sin(k_y \cdot 0) = 0 \\
 &= -Dk_y \cos(k_x x) \cdot 0 = 0 \\
 E_x &\sim \frac{\partial H_z^0(x, 2a)}{\partial y} = -Dk_y \cos(k_x x) \cdot \sin(k_y \cdot 2a) = 0 \\
 &\Rightarrow \sin(k_y \cdot 2a) \stackrel{!}{=} 0 \\
 &\Rightarrow k_y = \frac{n\pi}{2a} \quad \text{für } n = 0, 1, 2, \dots
 \end{aligned}$$

Hinweis:  $m$  und  $n$  können nicht beide Null sein.

c) TM-Welle:

$$E_z = A \sin(k_x x) \cdot \sin(k_y y) e^{j(\omega t - k_z z)}$$

Somit ergibt sich durch Einsetzen in die Wellengleichung  $\Delta \vec{E} - \varepsilon \mu \frac{\partial^2 \vec{E}}{\partial t^2} = 0$ :

$$A \sin(k_x x) \cdot \sin(k_y y) e^{j(\omega t - k_z z)} \cdot (-k_x^2 - k_y^2 - k_z^2 - \varepsilon \mu \omega^2) = 0$$

Damit erhält man für die Berechnung von  $\omega$  den folgenden Zusammenhang:

$$\begin{aligned}
 \omega^2 \mu \varepsilon &= k_z^2 + \left(\frac{m\pi}{a}\right)^2 + \left(\frac{n\pi}{2a}\right)^2 \\
 \Rightarrow \omega &= \sqrt{\frac{1}{\mu \varepsilon} \left(k_z^2 + \frac{m^2 \pi^2}{a^2} + \frac{n^2 \pi^2}{4a^2}\right)} \\
 &= \frac{\pi}{a \sqrt{\mu \varepsilon}} \sqrt{a^2 \pi^2 k_z^2 + m^2 + \frac{1}{4} n^2}
 \end{aligned}$$

d) Der Zusammenhang zwischen  $k_x$ ,  $k_y$  und  $k_z$  ist gegeben durch

$$k_x^2 + k_y^2 + k_z^2 = \omega^2 \varepsilon \mu$$

Da  $\omega^2 \varepsilon \mu$  konstant ist, wird  $k_z$  bei möglichst kleinen Werten für  $k_x$  und  $k_y$  maximal.

Folgende Moden sind möglich, um eine möglichst große Wellenzahl  $k_z$  zu erreichen:

Für die TE-Welle gilt:  $m = 1$  und  $n = 0$  oder  $m = 0$  und  $n = 1$ . Die Konstanten  $m$  und  $n$  dürfen nicht beide gleichzeitig Null sein, da sonst kein  $\vec{E}$ -Feld existiert und die Divergenz des  $\vec{H}$ -Feldes ungleich Null ist ( $\text{div}(\vec{H}) \neq 0$ ).

Für die TM-Welle gilt:  $m = 1$  und  $n = 1$ .

## Aufgabe 5 (16 Punkte)

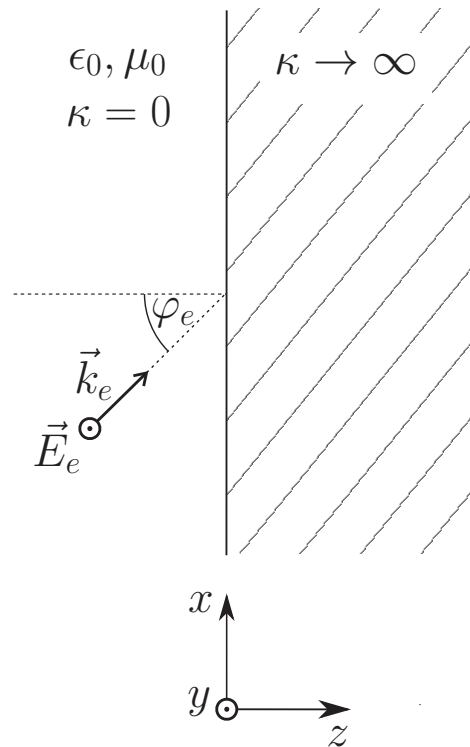


Abbildung 10: Skizze der Aufgabenstellung

Eine homogene, transversale ebene elektromagnetische Welle mit der elektrischen Feldstärke

$$\vec{E}_e = E_e e^{j(\omega t - \vec{k}_e \vec{r})} \vec{e}_y \quad \text{mit} \quad \vec{r} = x \vec{e}_x + y \vec{e}_y + z \vec{e}_z \quad (1)$$

kommt aus dem Vakuum und trifft bei  $z = 0$  unter dem Einfallswinkel  $\varphi_e$  auf einen idealen Leiter, der den Halbraum  $z > 0$  ausfüllt (siehe Abbildung 10).

- a) Geben Sie zunächst für die einfallende Welle die Komponenten des Wellenzahlvektors  $\vec{k}_e$  an. Berechnen Sie zudem die magnetische Feldstärke  $\vec{H}_e$  in Abhängigkeit von  $E_e$  unter Verwendung der allgemein gültigen Maxwellgleichungen.

Zeichnen Sie das  $\vec{H}_e$ -Feld der einfallenden Welle in die Skizze der Aufgabenstellung ein.

- b) Geben Sie für die reflektierte Welle die Felder  $\vec{E}_r$  und  $\vec{H}_r$  an. Bestimmen Sie alle Größen in Abhängigkeit der Parameter der einfallenden Welle.

Hinweis: Verwenden Sie für das elektrische Feld der reflektierten Welle den Ansatz:

$$\vec{E}_r = E_r e^{j(\omega t - \vec{k}_r \vec{r})} \vec{e}_y \quad (2)$$

- c) Berechnen Sie im Halbraum  $z \leq 0$  unter Einbeziehung der reflektierten Welle die resultierenden Felder  $\vec{E}(x, z, t)$  und  $\vec{H}(x, z, t)$ . Vereinfachen Sie soweit wie möglich.

Hinweis:

$$\sin(x) = \frac{e^{jx} - e^{-jx}}{2j}$$

$$\cos(x) = \frac{e^{jx} + e^{-jx}}{2}$$

- d) An welchen Stellen auf der  $z$ -Achse könnten ideal leitende Platten (parallel zur  $xy$ -Ebene) eingebracht werden, ohne die Wellenausbreitung vor der Platte zu verändern?

Lösung 5 (16 Punkte)

a) Der Wellenzahlvektor der einfallenden Welle lautet:

$$\vec{k}_e = k_0 \sin(\varphi_e) \vec{e}_x + k_0 \cos(\varphi_e) \vec{e}_z \quad \text{mit} \quad k_0 = \omega \sqrt{\epsilon_0 \mu_0}. \quad (1)$$

Für die magnetische Feldstärke gilt:

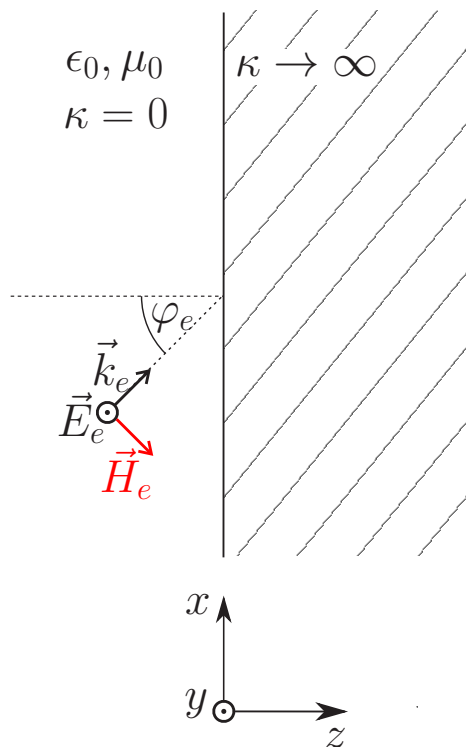
$$\vec{H}_e = \frac{j}{\omega \mu_0} \text{rot} \vec{E}_e \quad (2)$$

mit

$$\begin{aligned} \text{rot} \vec{E}_e &= -\frac{\partial E_{e,y}}{\partial z} \vec{e}_x + \frac{\partial E_{e,y}}{\partial x} \vec{e}_z \\ &= j k_0 \cos(\varphi_e) E_e e^{j(\omega t - \vec{k}_e \vec{r})} \vec{e}_x - j k_0 \sin(\varphi_e) E_e e^{j(\omega t - \vec{k}_e \vec{r})} \vec{e}_z \\ &= j k_0 E_e e^{j(\omega t - \vec{k}_e \vec{r})} (\cos(\varphi_e) \vec{e}_x - \sin(\varphi_e) \vec{e}_z) \end{aligned} \quad (3)$$

ergibt sich

$$\vec{H}_e = E_e \sqrt{\frac{\epsilon_0}{\mu_0}} e^{j(\omega t - \vec{k}_e \vec{r})} (\sin(\varphi_e) \vec{e}_z - \cos(\varphi_e) \vec{e}_x) \quad (4)$$



Die rot markierten Elemente müssen hinzugefügt werden.

b) Der Wellenzahlvektor der reflektierten Welle lautet:

$$\vec{k}_r = k_0 \sin(\varphi_r) \vec{e}_x - k_0 \cos(\varphi_r) \vec{e}_z \quad (5)$$

Der Ansatz für die reflektierte Welle:

$$\vec{E}_r = E_r e^{j(\omega t - \vec{k}_r \vec{r})} \vec{e}_y \quad (6)$$

Mit der Stetigkeitsbedingung der Tangentialkomponenten gilt:

$$\begin{aligned} \vec{E}_e(z=0, t=0) + \vec{E}_r(z=0, t=0) &= 0 \\ E_e e^{-j \sin(\varphi_e) x} + E_r e^{-j \sin(\varphi_r) x} &= 0 \end{aligned} \quad (7)$$

Damit muss gelten  $\varphi_e = \varphi_r$  und  $E_r = -E_e$ . Somit ist

$$\vec{E}_r = -E_e e^{j(\omega t - \vec{k}_r \vec{r})} \vec{e}_y \quad (8)$$

Für die magnetische Feldstärke gilt:

$$\vec{H}_r = -E_e \sqrt{\frac{\epsilon_0}{\mu_0}} e^{j(\omega t - \vec{k}_r \vec{r})} (\cos(\varphi_e) \vec{e}_x + \sin(\varphi_e) \vec{e}_z) \quad (9)$$

c) Die resultierende magnetische Feldstärke ergibt sich zu:

$$\begin{aligned} \vec{H} &= \vec{H}_e + \vec{H}_r \\ &= E_e \sqrt{\frac{\epsilon_0}{\mu_0}} \left[ e^{j(\omega t - \vec{k}_e \vec{r})} (\sin(\varphi_e) \vec{e}_z - \cos(\varphi_e) \vec{e}_x) - e^{j(\omega t - \vec{k}_r \vec{r})} (\cos(\varphi_e) \vec{e}_x + \sin(\varphi_e) \vec{e}_z) \right] \\ &= E_e \sqrt{\frac{\epsilon_0}{\mu_0}} \left[ -e^{j(\omega t - k_0 \sin(\varphi_e) x)} \cos(\varphi_e) \underbrace{(e^{-jk_0 \cos(\varphi_e) z} + e^{jk_0 \cos(\varphi_e) z})}_{2 \cos(jk_0 \cos(\varphi_e) z)} \vec{e}_x + \right. \\ &\quad \left. e^{j(\omega t - k_0 \sin(\varphi_e) x)} \sin(\varphi_e) \underbrace{(e^{-jk_0 \cos(\varphi_e) z} - e^{jk_0 \cos(\varphi_e) z})}_{-2j \sin(k_0 \cos(\varphi_e) z)} \vec{e}_z \right] \\ &= -2E_e \sqrt{\frac{\epsilon_0}{\mu_0}} e^{j(\omega t - k_0 \sin(\varphi_e) x)} [\cos(\varphi_e) \cos(jk_0 \cos(\varphi_e) z) \vec{e}_x + \\ &\quad j \sin(\varphi_e) \sin(k_0 \cos(\varphi_e) z) \vec{e}_z] \end{aligned} \quad (10)$$

Das resultierende elektrische Feld der Überlagerung beider Wellen ergibt sich zu:

$$\begin{aligned} \vec{E} &= \vec{E}_e + \vec{E}_r \\ &= E_e \left( e^{j(\omega t - \vec{k}_e \vec{r})} - e^{j(\omega t - \vec{k}_r \vec{r})} \right) \vec{e}_y \\ &= E_e \left( e^{j(\omega t - k_0 \sin(\varphi_e) x - k_0 \cos(\varphi_e) z)} - e^{j(\omega t - k_0 \sin(\varphi_e) x + k_0 \cos(\varphi_e) z)} \right) \vec{e}_y \\ &= E_e e^{j(\omega t - k_0 \sin(\varphi_e) x)} \underbrace{(e^{-jk_0 \cos(\varphi_e) z} - e^{jk_0 \cos(\varphi_e) z})}_{-2j \sin(k_0 \cos(\varphi_e) z)} \vec{e}_y \\ &= -2j E_e e^{j(\omega t - k_0 \sin(\varphi_e) x)} \sin(k_0 \cos(\varphi_e) z) \vec{e}_y \end{aligned} \quad (11)$$

- d) Auch an der Stelle, an der die leitende Platte eingebracht wird müssen die Randbedingungen erfüllt sein.

$$\vec{E}_{\text{tangential}} = 0 \quad \rightarrow \quad E_y = 0 \quad (12)$$

Daraus ergibt sich:

$$E_y = 0 = -2jE_e e^{j(\omega t - k_0 \sin(\varphi_e)x)} \underbrace{\sin(k_0 \cos(\varphi_e)z)}_{=0} \quad (13)$$

Es ergeben sich für die Stellen :

$$\begin{aligned} \sin(k_0 \cos(\varphi_e)z) &= 0 \\ k_0 \cos(\varphi_e)z &= n\pi \\ z &= \frac{n\pi}{k_0 \cos(\varphi_e)} \quad \text{mit } n = -1, -2, -3, \dots \end{aligned} \quad (14)$$